

LG态涡旋电子的轫致辐射

为什么要用 Laguerre-Gaussian 态?

- 在单涡旋散射的情况下，对于贝塞尔态，其散射截面对OAM一般不敏感；而 LG 态则相反，因为其平均横动量随 \sqrt{l} 的增大而增大[1]
- 对贝塞尔态的单涡旋轫致辐射，在宏观靶情况下，散射截面跟相位 $il\phi$ 无关，只跟纵向与横向动量之前的张开角 θ 相关[2]

ref [1]: KARLOVETS D V, SERBO V G, 2020. Effects of the transverse coherence length in relativistic collision.

ref [2]:GROSHEV M E, ZAYTSEV V A, YEROKHIN V A, et al., 2020. Bremsstrahlung from twisted electrons in the field of heavy nuclei.

标量粒子的 LG 波函数[3]

$$\phi_l(\mathbf{p}) = (4\pi)^{3/4} \sigma_{\perp} \sqrt{\sigma_z} \sqrt{2\epsilon(\mathbf{p})} \frac{(\sigma_{\perp} p_{\perp})^{|l|}}{\sqrt{|l|!}} \exp[-p_{\perp}^2 \sigma_{\perp}^2 / 2 - (p_z - \langle p_z \rangle)^2 \sigma_z^2 / 2 + il\varphi_p]$$

$$\int \frac{d^3 p}{(2\pi)^3 2\epsilon(\mathbf{p})} |\phi_l(\mathbf{p})|^2 = 1$$

广义拉盖尔多项式有：

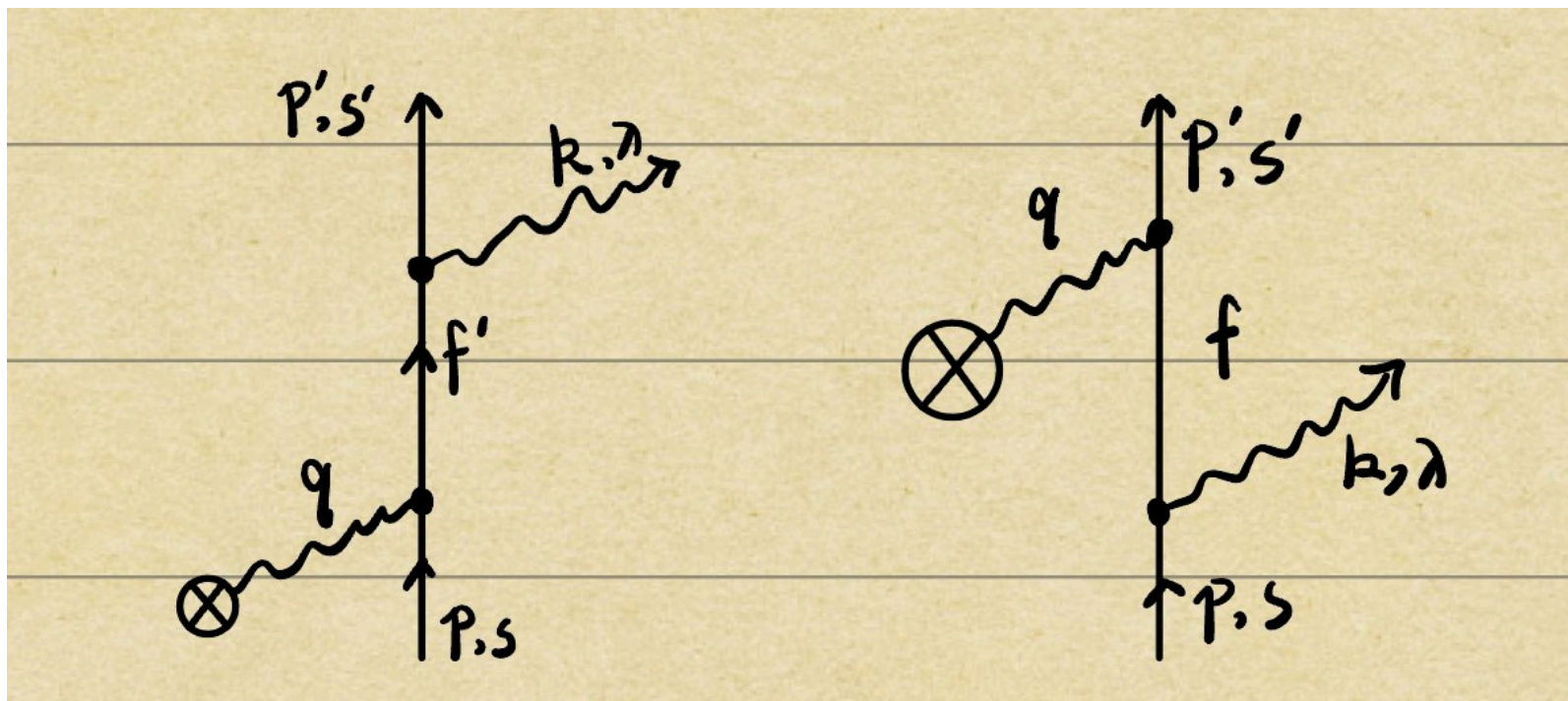
$$\int_0^{\infty} \frac{n!}{\Gamma(n + |l| + 1)} x^{|l|} e^{-x} |L_n^{|l|}(x)|^2 dx = 1$$

若 $n = 0$, 则 $\Gamma(|l| + 1) = |l|!$ 且 $L_0^{|l|}(x) = 1$, 再使 $x \rightarrow \sigma_{\perp}^2 p_{\perp}^2$, 即可得：

$$\int_0^{\infty} \frac{1}{|l|!} (\sigma_{\perp}^2 p_{\perp}^2)^{|l|} e^{-\sigma_{\perp}^2 p_{\perp}^2} d(\sigma_{\perp}^2 p_{\perp}^2) = 1$$

非涡旋S矩阵

费曼图



$$\begin{aligned}
\langle f|S|i\rangle &= e^2 \int d^4x d^4y \bar{\psi}_f(x) [(-i\gamma^\nu A_\nu(y, k)) iS_F(x-y) (-i\gamma^0) A_0^{coul}(y) \\
&\quad + (-i\gamma^0) A_0^{coul}(x) iS_F(x-y) (-i\gamma^\mu A_\mu(y, k))] \psi_i(y) \\
&= -Ze^3 \int d^4x d^4y \frac{d^3q}{(2\pi)^3} \bar{u}(p', s') e^{ip'x} [-i\gamma^\nu \epsilon_\nu^* e^{ikx} \int \frac{d^4f'}{(2\pi)^4} \frac{ie^{-if'(x-y)}}{\not{f}' - m_e} (-i\gamma^0) \frac{e^{iq \cdot y}}{q^2} \\
&\quad - i\gamma^0 \frac{e^{iq \cdot x}}{q^2} \int \frac{d^4f}{(2\pi)^4} \frac{ie^{-if(x-y)}}{\not{f} - m_e} (-i\gamma^\mu \epsilon_\mu^*) e^{iky}] u(p, s) e^{-ipy}
\end{aligned}$$

取 $\alpha = \frac{e^2}{4\pi} = \frac{1}{137}$, 这里用到了 $A_0^{coul}(x) = -\frac{Ze}{4\pi|x|} = -Ze \int \frac{d^3q}{(2\pi)^3} \frac{1}{q^2} e^{iq \cdot x}$

积分后可得 $\langle f|S|i\rangle = 2\pi i \delta(\epsilon' + \omega - \epsilon) M_{pw}$

$$M_{pw} = -Ze^3 \frac{1}{q^2} \bar{u}(p', s') \left[\not{\epsilon}^*(k, \lambda) \frac{\not{p}' + \not{k} + m_e}{(p' + k)^2 - m_e^2} \gamma_0 + \gamma_0 \frac{\not{p} - \not{k} + m_e}{(p - k)^2 - m_e^2} \not{\epsilon}^*(k, \lambda) \right] u(p, s)$$

- 其中选取 $u(p, s)$ 为:

$$u(p, s) = \begin{pmatrix} \sqrt{\epsilon + m_e} \omega^s \\ \sqrt{\epsilon - m_e} \boldsymbol{\sigma} \cdot \hat{\mathbf{p}} \omega^s \end{pmatrix} = \begin{pmatrix} \sqrt{\epsilon + m_e} \omega^s \\ \frac{1}{\sqrt{\epsilon - m_e}} \boldsymbol{\sigma} \cdot \mathbf{p} \omega^s \end{pmatrix}$$

这里的 ω^s 简单起见, 不选为螺旋度 $\boldsymbol{\sigma} \cdot \hat{\mathbf{p}}$ 的本征态, 而选为 σ_z 的本征态, 即

$$\omega^{s=\frac{1}{2}} = \begin{pmatrix} 1 \\ 0 \end{pmatrix}, \quad \omega^{s=-\frac{1}{2}} = \begin{pmatrix} 0 \\ 1 \end{pmatrix}$$

- $\epsilon^*(k, \lambda)$ 选为:

$$\epsilon^*(k, \lambda) = \frac{1}{\sqrt{2}} \begin{pmatrix} 0 \\ \lambda \cos\theta_k \cos\varphi_k - i \sin\varphi_k \\ \lambda \cos\theta_k \sin\varphi_k + i \cos\varphi_k \\ \lambda \sin\theta_k \end{pmatrix}$$

单涡旋S矩阵

令初态电子为涡旋态：

$$|i\rangle = \int \frac{d^3p}{(2\pi)^3 2\epsilon} \phi_l(\mathbf{p}) e^{-i\mathbf{b}\cdot\mathbf{p}} |\mathbf{p}\rangle$$

这里选取洛伦兹不变的归一化： $\langle \mathbf{p} | \mathbf{p}' \rangle = 2\epsilon(\mathbf{p}) \delta^{(3)}(\mathbf{p} - \mathbf{p}') \delta_{ss'}$

则S矩阵为：

$$\begin{aligned} \langle f | S | i \rangle &= \int \frac{d^3p}{(2\pi)^3 2\epsilon} \phi_l(\mathbf{p}) e^{-i\mathbf{b}\cdot\mathbf{p}} \langle p' k | S | p q \rangle \\ &= \int \frac{d^3p}{(2\pi)^3 2\epsilon} \phi_l(\mathbf{p}) e^{-i\mathbf{b}\cdot\mathbf{p}} 2\pi i \delta(\epsilon' + \omega - \epsilon) M_{pw} \end{aligned}$$

则跃迁概率:

这里对末态粒子极化求和, 而初态电子固定自旋为 $s = \frac{1}{2}$

$$\begin{aligned} dP_{fi} &= \frac{d^3 p'}{(2\pi)^3 2\epsilon'} \frac{d^3 k}{(2\pi)^3 2\omega} \sum_{s'} \sum_{\lambda} |\langle f | S | i \rangle|^2 \\ &= \omega \sqrt{\epsilon'^2 - m_e^2} \frac{d\epsilon' d\Omega'}{2(2\pi)^3} \frac{d\omega d\Omega_k}{2(2\pi)^3} \sum_{s'} \sum_{\lambda} \left| \int \frac{\pi d\Omega}{(2\pi)^3} \sqrt{\epsilon_f^2 - m_e^2} \phi_l(\epsilon_f, \Omega) e^{-i\mathbf{b} \cdot \mathbf{p}(\epsilon_f, \Omega)} M_{pw} \right|_{\epsilon_f = \epsilon' + \omega}^2 \end{aligned}$$

关于初态电子波函数的选取

由于取不同的 l 值的 ϕ_l 的动量和坐标空间分布并不相同，为了确定结果中的不同是由相位 $il\varphi$ 引起的，我们选取动量与坐标空间没有相位的函数做对比。

首先在动量与坐标空间， ϕ_l 分别为：

$$\phi_l(\mathbf{p}) = (4\pi)^{3/4} \sigma_{\perp} \sqrt{\sigma_z} \sqrt{2\epsilon(\mathbf{p})} \frac{(\sigma_{\perp} p_{\perp})^{|l|}}{\sqrt{|l|!}} \exp[-p_{\perp}^2 \sigma_{\perp}^2 / 2 - (p_z - \langle p_z \rangle)^2 \sigma_z^2 / 2 + il\varphi_p]$$

$$\phi_l(\mathbf{r}) = (\pi)^{-3/4} \frac{i^l r^{|l|}}{\sqrt{\sigma_z |l|!} \sigma_{\perp}^{|l|+1}} \exp[-r^2 / (2\sigma_{\perp}^2) - z^2 / (2\sigma_z^2) + i \langle p_z \rangle z + il\varphi_r]$$

- 所以对应的在动量空间没有相位的波函数为：

$$\phi_p(\mathbf{p}) = (4\pi)^{3/4} \sigma_{\perp} \sqrt{\sigma_z} \sqrt{2\epsilon(\mathbf{p})} \frac{(\sigma_{\perp} p_{\perp})^{|l|}}{\sqrt{|l|!}} \exp[-p_{\perp}^2 \sigma_{\perp}^2 / 2 - (p_z - \langle p_z \rangle)^2 \sigma_z^2 / 2]$$

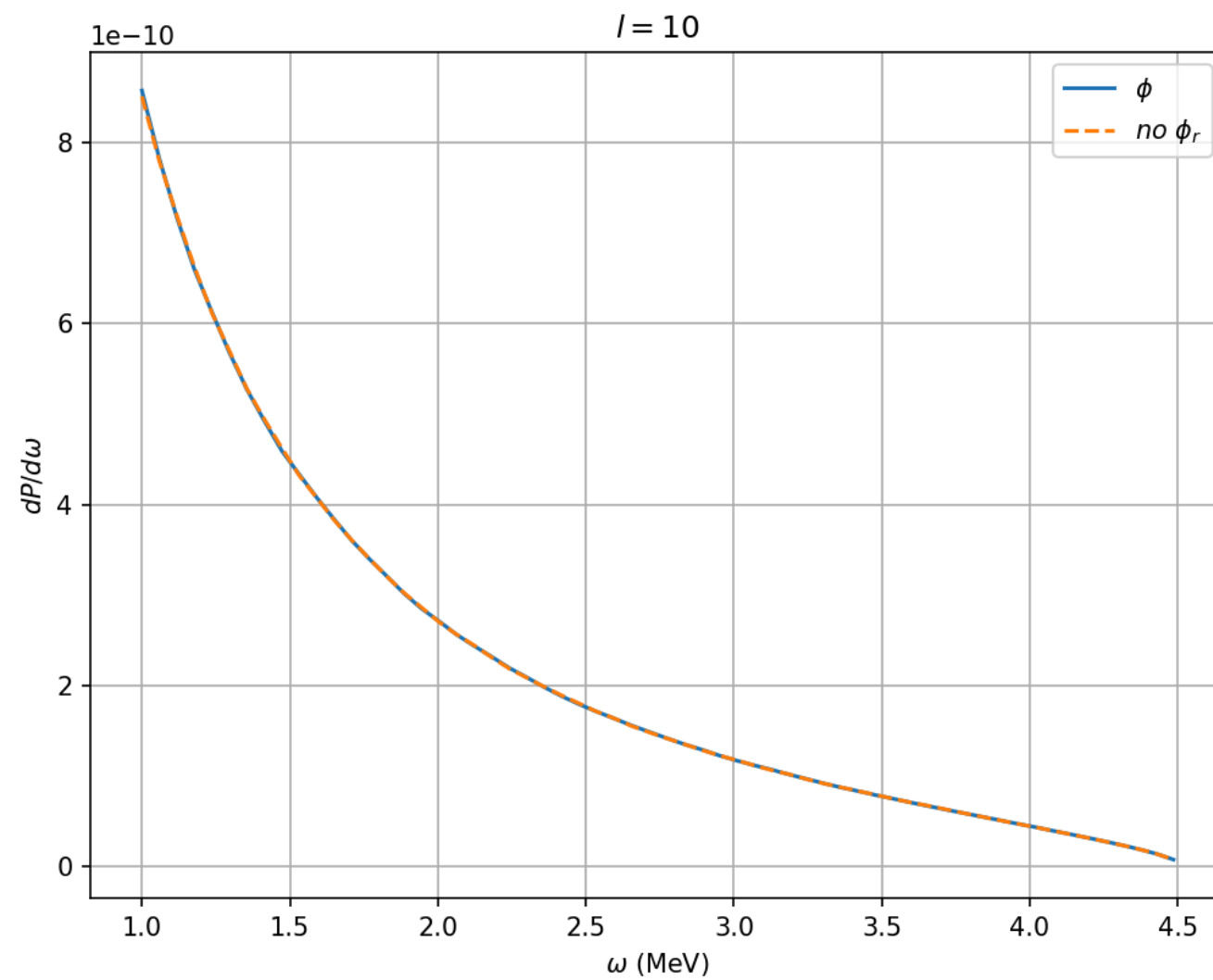
- 对应的坐标空间函数为：

$$\phi_r(\mathbf{r}) = (\pi)^{-3/4} \frac{i^l r^{|l|}}{\sqrt{\sigma_z |l|!} \sigma_{\perp}^{|l|+1}} \exp[-r^2 / (2\sigma_{\perp}^2) - z^2 / (2\sigma_z^2) + i \langle p_z \rangle z]$$

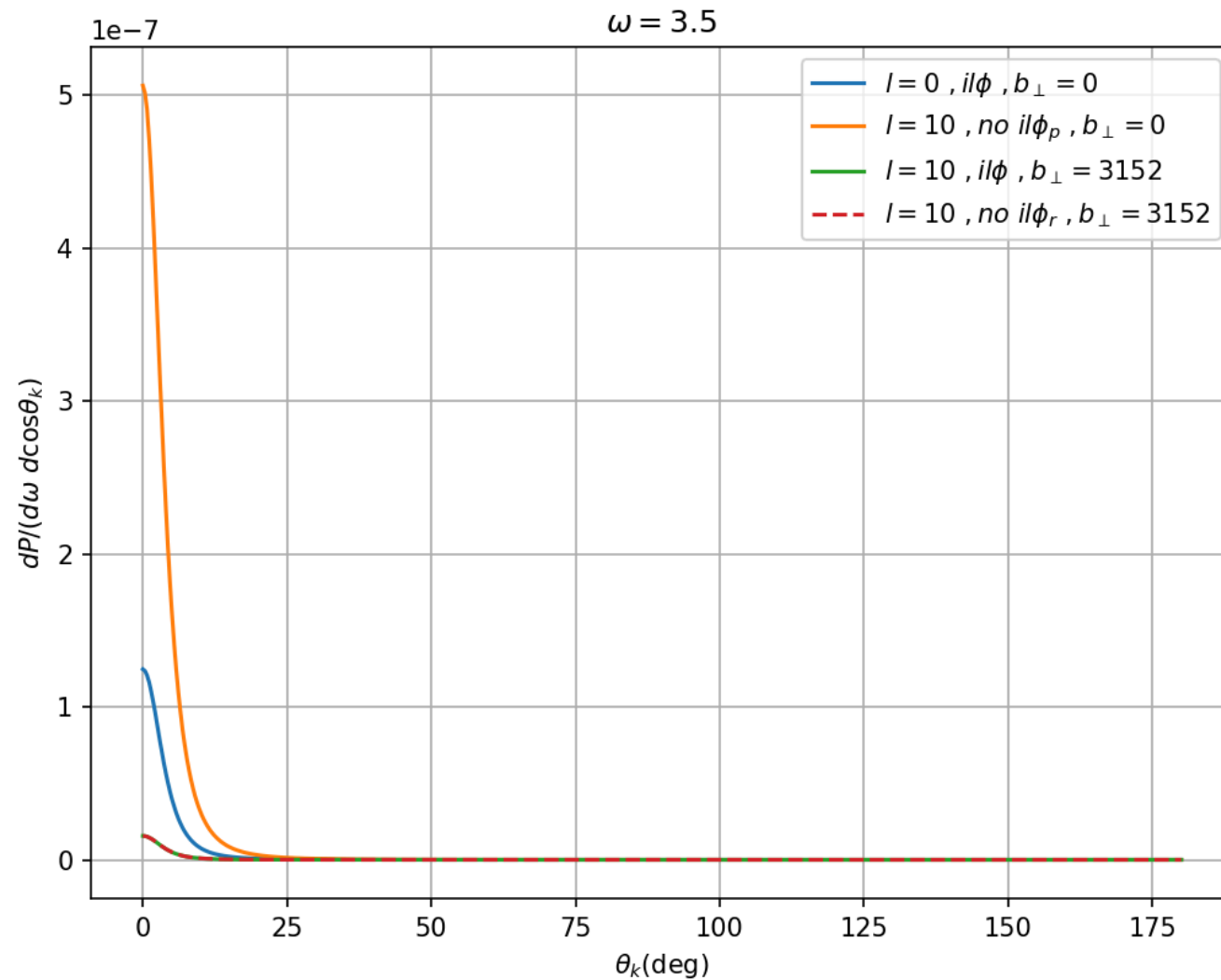
将其傅里叶变换，便能直接应用到之前的公式：

$$\phi_r(\mathbf{p}) = (4\pi)^{3/4} \sigma_{\perp} \sqrt{\sigma_z} \sqrt{2\epsilon(\mathbf{p})} \sqrt{\frac{2^l}{l!}} \Gamma(\frac{l}{2} + 1) L_{-1-l/2}(-p_{\perp}^2 \sigma_{\perp}^2 / 2) \exp[-(p_z - \langle p_z \rangle)^2 \sigma_z^2 / 2]$$

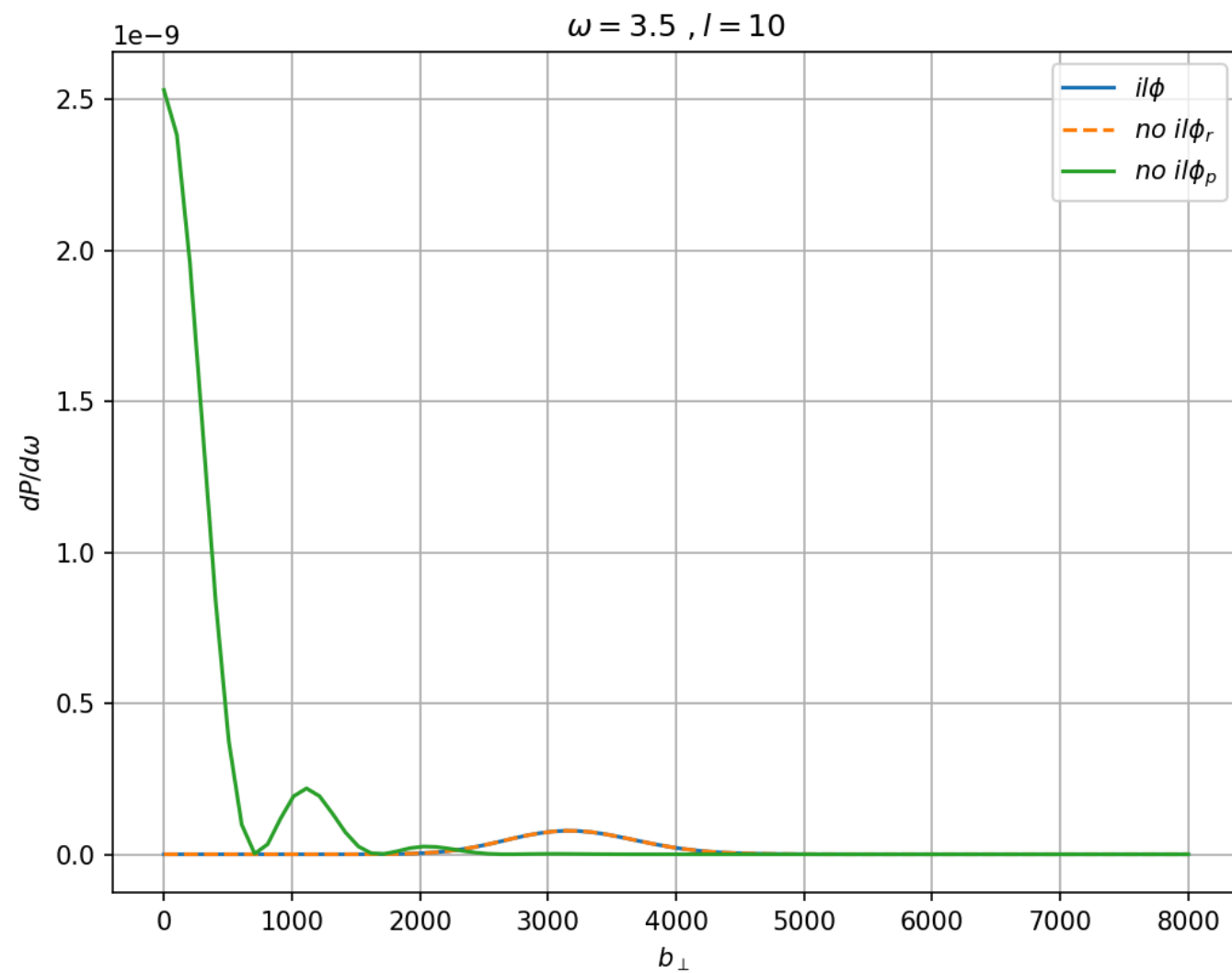
能谱



角度分布



关于散射参数的分布



与平面波结果对比

